# Нгуен Ван Бо, Р. В. Цышевский, Г. М. Храпковский

# ГЕОМЕТРИЧЕСКАЯ И ЭЛЕКТРОННАЯ СТРУКТУРЫ МОЛЕКУЛ, КАТИОН-

#### И АНИОН-РАДИКАЛОВ НИТРБЕНЗОЛА ПО ДАННЫМ КВАНТОВО-ХИМИЧЕСКИХ РАСЧЕТОВ

Ключевые слова: квантово-химический расчет, катион радикал, анион радикал, нитробензол, геометрические параметры, заряды на атомах, дипольный момент, потенциал ионизации, энергия сродства к электрону.

С использованием методов квантовой химии проведен расчет геометрических параметров, зарядов на атомах в молекуле, в катион- и анион- радикалах нитробензола и значения дипольного момента, потенциала ионизации и энергии сродства к электрону нитробензола.

Keywords: quantum-chemical calculations, nitrobenzene radical cation, nitrobenzene radical anion, geometrical parameters, atomic charges, dipole moment, ionization potential, electron affinity.

Using the methods of quantum chemistry were obtained geometrical parameters, atomic charges of neutral molecule, ionized nitrobenzene and dipole moment, ionization potential and electron affinity of nitrobenzene.

### Введение

Исследование влияния молекулярной структуры на реакционную способность нейтральных ионизированных молекул представляет значительный научный и практический интерес [1-4]. Современные эффективно квантово-химические методы, используются для изучения геометрической электронной структур молекул взрывчатых веществ, а также влияния этих характеристик на их реакционную способность. Наибольшую популярность исследователей приобрели гибридные методы теории функционала плотности, позволяющие с достаточно высокой надежностью изучать механизмы реакций нейтральных молекул с сравнительно небольшими затратами вычислительных ресурсов и машинного времени, что является несомненным преимуществом по сравнению с неэмпиричискими методами [5,6] В этой работе на основе использовании современных квантово-химических методов мы изучили геометрию нейтральной молекулы, и электронную структуру

## 1. Расчетные методы

катион- и анион-радикалов нитробензола.

Структуры и заряды на атомах нейтральной молекулы, катион- и анион-радикалов нитробензола (НБ) изучались с использованием современных квантово-химических методов: НF [7,8], МР2 [9], BPEPBE [10,11], PW91PW91 [12], OLYP [13,14], ВЗLYР [15,16], ВНапdНLYР [17-19] и М06 [20], дважды гибридные — B2PLYP [21] и MPW2PLYP [22] методы теории функционала плотности (DFT) [23,24]. Также был проведен расчет с использованием DFT wB97XD учитывающего [25,26],дисперсионное взаимодействие. Все результаты были получены с базисным набором 6-311+g(3df,p). Во всех случаях расчеты проводились в программе Gaussian 09 [16].

## 2. Результаты и обсуждение

Нитробензол (НБ) является простейшим представителем класса ароматических С-нитросоединений, к которому принадлежат такие известные взрывчатые вещества как 2,4.6-

тринитротолуол (TNT) и 2,4,6-тринитрофенол (пикриновая кислота).

Равновесная структура нейтральной молекулы НБ представлена на рис 1. Расчетные и экспериментальные значения длин связей и валентных углов приведены в таблице 1.

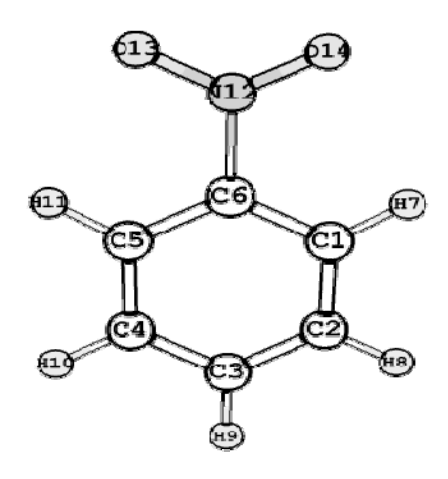


Рис. 1 - Равновесная структура молекулы нитробензола

Расчетные данные табл. 1 указывают на то, что геометрические параметры нейтральной молекулы НБ, предсказанные разными квантово-химическими методами находятся в хорошем согласии между собой и с экспериментом. Следует отметить, что эти результаты согласуются с расчетными данными работы Николаевой [27], в которой изучение проводилось с использованием метода ВЗLYР/6-31g(d). Хорошее согласие расчета с экспериментом наблюдается и для дипольного момента (Табл.2). Наилучшие результаты достигаются использовании негибридных методов функционала плотности РВЕРВЕ, PW91PW91 и OLYP. В целом следует отметить, что гибридные, дважды гибридные методы теории функционала плотности незначительно завышают значения дипольного момента в НБ. Хуже всего с экспериментом согласуются результаты методов НГ, mPW2PLYP и B2PLYP.

Таблица 1 - Расчетные значения геометрических параметров нейтральной молекулы нитробензола (длины связей в Å, углы в градусах)

| Методы   | C6-C1  | C6-N12   | N12-O13  | С1-Н7  | C1-C6-C5   |
|--|--|--|--|--|--|
| HF   | 1.378  | 1.464  | 1.185  | 1.071  | 122.4  |
| MP2  | 1.389  | 1.471  | 1.227  | 1.084  | 122.8  |
| PBEPBE   | 1.394  | 1.483  | 1.232  | 1.09   | 122.3  |
| PW91PW91   | 1.393  | 1.481  | 1.232  | 1.088  | 122.3  |
| OLYP   | 1.395  | 1.488  | 1.228  | 1.085  | 121.9  |
| B3LYP  | 1.388  | 1.477  | 1.221  | 1.081  | 122.3  |
| BHandHLYP  | 1.378  | 1.461  | 1.201  | 1.073  | 122.4  |
| WB97XD   | 1.383  | 1.474  | 1.212  | 1.081  | 122.4  |
| MPW2PLYP   | 1.386  | 1.471  | 1.221  | 1.079  | 122.5  |
| B2PLYP   | 1.388  | 1.474  | 1.226  | 1.081  | 122.5  |
| M06  | 1.381  | 1.475  | 1.211  | 1.083  | 122.4  |
| Эксп. [28]   | 1.399  | 1.486  | 1.223  | 1.093  | 123.4  |
|  |  |  |  |  |  |
|  | C6-C1-C2   | C1-C2-C3   | C2-C3-C4   | C6-N12-O13   | O13-N12-O14  |
| HF   | C6-C1-C2   | C1-C2-C3   | C2-C3-C4   | C6-N12-O13   | 013-N12-014<br>124.8   |
| HF<br>MP2  |  |  |  |  |  |
|  | 118.5  | 120.1  | 120.4  | 117.6  | 124.8  |
| MP2  | 118.5<br>118.1   | 120.1<br>120.6   | 120.4<br>119.9   | 117.6<br>117.5   | 124.8<br>124.9   |
| MP2<br>PBEPBE  | 118.5<br>118.1<br>118.5  | 120.1<br>120.6<br>120.2  | 120.4<br>119.9<br>120.3  | 117.6<br>117.5<br>117.5  | 124.8<br>124.9<br>125  |
| MP2 PBEPBE PW91PW91                                      | 118.5<br>118.1<br>118.5<br>118.5                                     | 120.1<br>120.6<br>120.2<br>120.2                                     | 120.4<br>119.9<br>120.3  | 117.6<br>117.5<br>117.5<br>117.5                                     | 124.8<br>124.9<br>125<br>124.9                                     |
| MP2 PBEPBE PW91PW91 OLYP                                 | 118.5<br>118.1<br>118.5<br>118.5<br>118.7                            | 120.1<br>120.6<br>120.2<br>120.2                                     | 120.4<br>119.9<br>120.3<br>120.3                                     | 117.6<br>117.5<br>117.5<br>117.5<br>117.6                            | 124.8<br>124.9<br>125<br>124.9                                     |
| MP2 PBEPBE PW91PW91 OLYP B3LYP                           | 118.5<br>118.1<br>118.5<br>118.5<br>118.7<br>118.5                   | 120.1<br>120.6<br>120.2<br>120.2<br>120.3                            | 120.4<br>119.9<br>120.3<br>120.3<br>120.1<br>120.3                   | 117.6<br>117.5<br>117.5<br>117.5<br>117.6<br>117.7                   | 124.8<br>124.9<br>125<br>124.9<br>124.9<br>124.7                   |
| MP2 PBEPBE PW91PW91 OLYP B3LYP BHandHLYP                 | 118.5<br>118.1<br>118.5<br>118.5<br>118.7<br>118.5<br>118.5          | 120.1<br>120.6<br>120.2<br>120.2<br>120.3<br>120.2                   | 120.4<br>119.9<br>120.3<br>120.3<br>120.1<br>120.3                   | 117.6<br>117.5<br>117.5<br>117.5<br>117.6<br>117.7                   | 124.8<br>124.9<br>125<br>124.9<br>124.9<br>124.7                   |
| MP2 PBEPBE PW91PW91 OLYP B3LYP BHandHLYP WB97XD          | 118.5<br>118.1<br>118.5<br>118.5<br>118.7<br>118.5<br>118.5          | 120.1<br>120.6<br>120.2<br>120.2<br>120.3<br>120.2<br>120.2          | 120.4<br>119.9<br>120.3<br>120.3<br>120.1<br>120.3<br>120.4          | 117.6<br>117.5<br>117.5<br>117.5<br>117.6<br>117.7<br>117.6          | 124.8<br>124.9<br>125<br>124.9<br>124.9<br>124.7<br>124.8          |
| MP2 PBEPBE PW91PW91 OLYP B3LYP BHandHLYP WB97XD MPW2PLYP | 118.5<br>118.1<br>118.5<br>118.5<br>118.7<br>118.5<br>118.5<br>118.4 | 120.1<br>120.6<br>120.2<br>120.2<br>120.3<br>120.2<br>120.2<br>120.2 | 120.4<br>119.9<br>120.3<br>120.1<br>120.3<br>120.4<br>120.3<br>120.4 | 117.6<br>117.5<br>117.5<br>117.5<br>117.6<br>117.7<br>117.6<br>117.6 | 124.8<br>124.9<br>125<br>124.9<br>124.9<br>124.7<br>124.8<br>124.8 |

Данные по зарядам на атомах в молекуле НБ (таб. 3), полученные использованем различных c теоретических методов также находятся в хорошем согласии друг с другом. По данным расчетов в молекуле НБ отрицательный заряд в основном локализован на атомах углерода С1, С3, С5, О13 и О14. Также имеется небольшой отрицательный заряд. сосредоточенный на атомах углерода С2 и С4, величина которого составляет всего несколько сотых единиц заряда электрона. Наибольший положительный заряд по этим данным локализован на атомах водорода H7, H8, H9, H10 и H11. На атоме азота N12 по данным методов HF, MP2, BHandHLYP и B2PLYP тоже наблюдается незначительный положительный заряд, а согласно методам РВЕРВЕ, PW91PW91, OLYP, WB97XD и M06 – отрицательный заряд.

Присоединение электрона к нейтральной молекуле НБ приводит к образованию анион-радикала нитробензола (АРНБ). Равновесная структура, геометрические параметры и заряды на атомах в АРНБ представлены на рис 2 и в таб. 4 и 5, соответственно.

Таблица 2 - Расчетные и экспериментальные значения дипольного момента (в дебаях), потенциала ионизации и энергии сродства к электрону НБ (эВ)

| Метод      | D     | (IP) <sub>ver</sub> | (IP) <sub>ad</sub> | Ip(k)  | (EA) <sub>ver</sub> | (EA) <sub>ad</sub> |
|------------|-------|---------------------|--------------------|--------|---------------------|--------------------|
| HF         | 4.906 | 10.72               | 8.54               | 10.08  | 0.10                | -0.73              |
| MP2        | 5.160 | 11.17               | 10.55              | 10.07  | 0.65                | 0.36               |
| PBEPBE     | 4.533 | 10.34               | 9.42               | 6.84   | -0.84               | -1.19              |
| PW91PW91   | 4.569 | 10.40               | 9.48               | 6.91   | -0.91               | -1.26              |
| OLYP       | 4.512 | 9.66                | 9.20               | 6.69   | -0.61               | -0.96              |
| B3LYP      | 4.703 | 10.01               | 9.75               | 7.93   | -0.83               | -1.25              |
| BHandHLYP  | 4.768 | 9.89                | 9.70               | 8.98   | -0.58               | -1.09              |
| WB97XD     | 4.586 | 11.00               | 9.87               | 9.92   | -0.64               | -1.10              |
| MPW2PLYP   | 4.903 | 9.63                | 9.45               | 8.97   | -0.60               | -0.98              |
| B2PLYP     | 4.913 | 9.59                | 9.41               | 8.85   | -0.59               | -0.95              |
| M06        | 4.601 | 10.00               | 9.83               | 8.19   | -0.78               | -1.19              |
| Эксп. [28] | 4.220 | 9.86±0.080          |                    | =0.080 | -0.76               | -1.19              |

Таблица 3 - Значения малликеновских зарядов на атомах в НБ (е. э.)

| Методы  | C1   | C2   | С3   | C4  | C5   | C6   | Н7   |
|---|--|--|--|---|--|--|--|
| HF  | -0.451   | -0.016   | -0.425   | -0.016  | -0.451   | 1.654  | 0.188  |
| MP2   | -0.546   | 0.085  | -0.508   | 0.085   | -0.546   | 1.751  | 0.193  |
| PBEPBE  | -0.315   | -0.037   | -0.326   | -0.037  | -0.315   | 1.319  | 0.151  |
| PW91PW91  | -0.356   | -0.031   | -0.313   | -0.031  | -0.356   | 1.441  | 0.143  |
| OLYP  | -0.444   | 0.043  | -0.312   | 0.043   | -0.444   | 1.833  | 0.098  |
| B3LYP   | -0.266   | -0.072   | -0.335   | -0.072  | -0.266   | 1.115  | 0.180  |
| BHandHLYP                                       | -0.34  | -0.043   | -0.381   | -0.043  | -0.34  | 1.287  | 0.189  |
| WB97XD  | -0.371   | -0.056   | -0.353   | -0.056  | -0.371   | 1.313  | 0.179  |
| MPW2PLYP  | -0.385   | -0.018   | -0.387   | -0.018  | -0.385   | 1.400  | 0.184  |
| B2PLYP  | -0.359   | -0.027   | -0.389   | -0.027  | -0.359   | 1.337  | 0.187  |
| m06   | -0.116   | -0.163   | -0.330   | -0.163  | -0.116   | 0.609  | 0.239  |
|   | 110  | ***  |  |   |  |  |  |
|   | Н8   | Н9   | H10  | H11   | N12  | O13  | O14  |
| HF  | 0.134  | 0.135  | 0.134  | <b>H11</b> 0.188  | 0.282  | -0.677   | -0.677   |
| HF<br>MP2                                       |  |  |  |   |  |  |  |
|   | 0.134  | 0.135  | 0.134  | 0.188   | 0.282  | -0.677   | -0.677   |
| MP2   | 0.134  | 0.135  | 0.134  | 0.188   | 0.282  | -0.677<br>-0.621   | -0.677   |
| MP2<br>PBEPBE                                   | 0.134<br>0.131<br>0.107  | 0.135<br>0.140<br>0.107  | 0.134<br>0.131<br>0.107  | 0.188<br>0.193<br>0.151                                     | 0.282<br>0.132<br>-0.104   | -0.677<br>-0.621<br>-0.405   | -0.677<br>-0.621<br>-0.405   |
| MP2 PBEPBE PW91PW91                             | 0.134<br>0.131<br>0.107<br>0.096                                     | 0.135<br>0.140<br>0.107<br>0.096                                     | 0.134<br>0.131<br>0.107<br>0.096                                     | 0.188<br>0.193<br>0.151<br>0.143                            | 0.282<br>0.132<br>-0.104<br>-0.194                                       | -0.677<br>-0.621<br>-0.405<br>-0.366                               | -0.677<br>-0.621<br>-0.405<br>-0.366   |
| MP2 PBEPBE PW91PW91 OLYP                        | 0.134<br>0.131<br>0.107<br>0.096<br>0.050                            | 0.135<br>0.140<br>0.107<br>0.096<br>0.054                            | 0.134<br>0.131<br>0.107<br>0.096<br>0.050                            | 0.188<br>0.193<br>0.151<br>0.143<br>0.098                   | 0.282<br>0.132<br>-0.104<br>-0.194<br>-0.053                             | -0.677<br>-0.621<br>-0.405<br>-0.366<br>-0.508                     | -0.677<br>-0.621<br>-0.405<br>-0.366<br>-0.508                               |
| MP2 PBEPBE PW91PW91 OLYP B3LYP                  | 0.134<br>0.131<br>0.107<br>0.096<br>0.050<br>0.136                   | 0.135<br>0.140<br>0.107<br>0.096<br>0.054<br>0.135                   | 0.134<br>0.131<br>0.107<br>0.096<br>0.050<br>0.136                   | 0.188<br>0.193<br>0.151<br>0.143<br>0.098<br>0.180          | 0.282<br>0.132<br>-0.104<br>-0.194<br>-0.053<br>-0.05                    | -0.677<br>-0.621<br>-0.405<br>-0.366<br>-0.508<br>-0.410           | -0.677<br>-0.621<br>-0.405<br>-0.366<br>-0.508<br>-0.410                     |
| MP2 PBEPBE PW91PW91 OLYP B3LYP BHandHLYP        | 0.134<br>0.131<br>0.107<br>0.096<br>0.050<br>0.136                   | 0.135<br>0.140<br>0.107<br>0.096<br>0.054<br>0.135<br>0.141          | 0.134<br>0.131<br>0.107<br>0.096<br>0.050<br>0.136                   | 0.188<br>0.193<br>0.151<br>0.143<br>0.098<br>0.180<br>0.189 | 0.282<br>0.132<br>-0.104<br>-0.194<br>-0.053<br>-0.05                    | -0.677<br>-0.621<br>-0.405<br>-0.366<br>-0.508<br>-0.410<br>-0.509 | -0.677<br>-0.621<br>-0.405<br>-0.366<br>-0.508<br>-0.410                     |
| MP2 PBEPBE PW91PW91 OLYP B3LYP BHandHLYP WB97XD | 0.134<br>0.131<br>0.107<br>0.096<br>0.050<br>0.136<br>0.141<br>0.133 | 0.135<br>0.140<br>0.107<br>0.096<br>0.054<br>0.135<br>0.141<br>0.132 | 0.134<br>0.131<br>0.107<br>0.096<br>0.050<br>0.136<br>0.141<br>0.133 | 0.188<br>0.193<br>0.151<br>0.143<br>0.098<br>0.180<br>0.189 | 0.282<br>0.132<br>-0.104<br>-0.194<br>-0.053<br>-0.05<br>0.077<br>-0.052 | -0.677 -0.621 -0.405 -0.366 -0.508 -0.410 -0.509 -0.405            | -0.677<br>-0.621<br>-0.405<br>-0.366<br>-0.508<br>-0.410<br>-0.509<br>-0.405 |

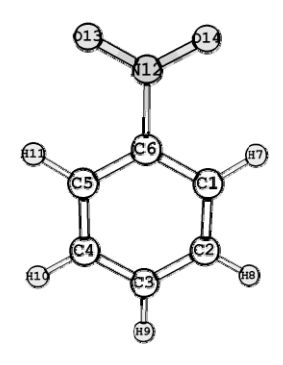


Рис. 2 - Равновесная структура АРНБ

Таблица 4 - Расчетные значения длин связей и валентных углов в АРНБ (длины связей в Å, углы в градусах)

| методы  | C6-C1  | C6-N12  | N12-O13  | С1-Н7   | C1-C6-C5  |
|---|--|---|--|---|---|
| HF  | 1.412  | 1.367   | 1.266  | 1.071   | 118.9   |
| MP2   | 1.393  | 1.379   | 1.268  | 1.083   | 118.9   |
| PBEPBE  | 1.422  | 1.400   | 1.285  | 1.090   | 118.8   |
| PW91PW91  | 1.420  | 1.398   | 1.285  | 1.089   | 118.9   |
| OLYP  | 1.423  | 1.403   | 1.280  | 1.085   | 118.4   |
| B3LYP   | 1.415  | 1.390   | 1.281  | 1.081   | 118.7   |
| BHandHLYP                                       | 1.404  | 1.374   | 1.266  | 1.073   | 118.8   |
| WB97XD  | 1.412  | 1.383   | 1.272  | 1.081   | 118.8   |
| MPW2PLYP  | 1.412  | 1.384   | 1.278  | 1.079   | 119.0   |
| B2PLYP  | 1.414  | 1.387   | 1.281  | 1.081   | 119.0   |
| m06   | 1.410  | 1.386   | 1.266  | 1.084   | 118.8   |
|   |  |   |  |   |   |
|   | C6-C1-C2   | C1-C2-C3  | C2-C3-C4   | C6-N12-O13  | O13-N12-O14   |
| HF  | C6-C1-C2   | C1-C2-C3  | C2-C3-C4   | C6-N12-O13  | 013-N12-014<br>122.0  |
| HF<br>MP2                                       |  |   |  |   |   |
|   | 120.1  | 121.0   | 119.0  | 119.0   | 122.0   |
| MP2   | 120.1<br>119.8   | 121.0<br>122.0  | 119.0<br>117.7   | 119.0<br>118.8  | 122.0<br>122.3  |
| MP2<br>PBEPBE                                   | 120.1<br>119.8<br>120.0  | 121.0<br>122.0<br>121.4                                     | 119.0<br>117.7<br>118.3  | 119.0<br>118.8<br>118.9                                     | 122.0<br>122.3<br>122.2                                     |
| MP2 PBEPBE PW91PW91                             | 120.1<br>119.8<br>120.0<br>120.0                                     | 121.0<br>122.0<br>121.4<br>121.4                            | 119.0<br>117.7<br>118.3<br>118.4                                     | 119.0<br>118.8<br>118.9<br>118.9                            | 122.0<br>122.3<br>122.2<br>122.2                            |
| MP2 PBEPBE PW91PW91 OLYP                        | 120.1<br>119.8<br>120.0<br>120.0                                     | 121.0<br>122.0<br>121.4<br>121.4<br>121.5                   | 119.0<br>117.7<br>118.3<br>118.4<br>118.2                            | 119.0<br>118.8<br>118.9<br>118.9                            | 122.0<br>122.3<br>122.2<br>122.2<br>122.1                   |
| MP2 PBEPBE PW91PW91 OLYP B3LYP                  | 120.1<br>119.8<br>120.0<br>120.0<br>120.2<br>120.0                   | 121.0<br>122.0<br>121.4<br>121.4<br>121.5<br>121.4          | 119.0<br>117.7<br>118.3<br>118.4<br>118.2                            | 119.0<br>118.8<br>118.9<br>118.9<br>119.0                   | 122.0<br>122.3<br>122.2<br>122.2<br>122.1<br>122.0          |
| MP2 PBEPBE PW91PW91 OLYP B3LYP BHandHLYP        | 120.1<br>119.8<br>120.0<br>120.0<br>120.2<br>120.0                   | 121.0<br>122.0<br>121.4<br>121.4<br>121.5<br>121.4<br>121.3 | 119.0<br>117.7<br>118.3<br>118.4<br>118.2<br>118.4<br>118.6          | 119.0<br>118.8<br>118.9<br>118.9<br>119.0<br>119.0          | 122.0<br>122.3<br>122.2<br>122.2<br>122.1<br>122.0<br>122.1 |
| MP2 PBEPBE PW91PW91 OLYP B3LYP BHandHLYP WB97XD | 120.1<br>119.8<br>120.0<br>120.0<br>120.2<br>120.0<br>120.0<br>120.0 | 121.0 122.0 121.4 121.4 121.5 121.4 121.3                   | 119.0<br>117.7<br>118.3<br>118.4<br>118.2<br>118.4<br>118.6<br>118.5 | 119.0<br>118.8<br>118.9<br>118.9<br>119.0<br>119.0<br>118.9 | 122.0 122.3 122.2 122.2 122.1 122.0 122.1 122.0             |

Расчетные значения в табл. 4 показывают, что присоединение электрона к нейтральной молекуле с последующим образованием АРНБ приводит к незначительно увеличению длины связи С6-С1 по сравнению с нейтральной молекулой на 0.034 A<sup>0</sup>; при этом длина связи C6-N12 и валентные углы C1-C6-C5, O13-N12-O14 уменьшаются C2-C3-C4 И соответственно на 0.097 A<sup>0</sup> и 3.9, 2.2 и 2.9<sup>0</sup>. Остальные практически геометрические параметры изменяются. Из данных таблицы 3, можно сделать вывод о том, что расчетные значения геометрических параметров АРНБ также находятся в хорошем согласии друг с другом.

Значения вертикального сродства к электрону ( $EA_{vert}$ ) (табл. 2) рассчитывались по формуле (1)

$$EA_{v} = E_{tot}(M^{\bullet}) - E_{tot}(M_{eq}), \tag{1}$$

где  $E_{tot}(M_{eq})$  – полная электронная энергия молекулы в равновесном состоянии,  $E_{tot}(M^{*-})$  - полная электронная энергия анион-радикала, геометрическая структура, которого отвечает равновесной конфигурации молекулы  $M_{eq}$  во всех случаях больше нуля.

Оценки адиабатического сродства в электрону  $EA_{ad}$  рассчитывались по формуле (2)

$$EA_{ad} = E_{tot}(M_{eq}^{\bullet}) + ZPE(M_{eq}^{\bullet}) - E_{tot}(M_{eq}) - ZPE(M_{eq}),$$
 (2) где  $E_{tot}(M_{eq}^{\bullet})$  и  $E_{tot}(M_{eq})$  — значения полной электронной энергии анион-радикала и нейтральной

электронной энергии анион-радикала и нейтральной исходной молекулы в их равновесных конфигурациях,  $ZPE(M_{eq}^{-})$  и  $ZPE(M_{eq})$  – энергии нулевых колебаний анион-радикала и нейтральной молекулы.

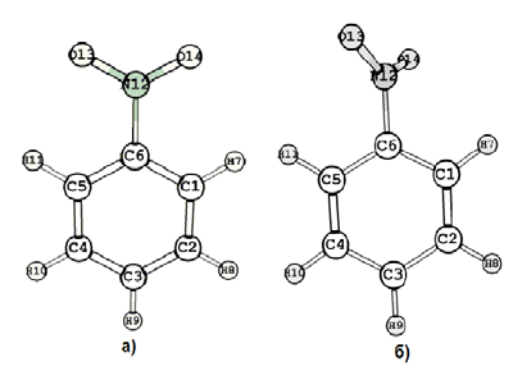
Таблица 5 - Значения малликеновских зарядов на атомах в АРНБ (e. э.)

| Методы  | C1  | C2   | С3  | C4  | C5   | С6   | Н7   |
|---|---|--|---|---|--|--|--|
| HF  | -0.336  | -0.188   | -0.365  | -0.188  | -0.336   | 1.570  | 0.169  |
| MP2   | -0.613  | 0.086  | -0.609  | 0.086   | -0.613   | 1.858  | 0.171  |
| РВЕРВЕ  | -0.262  | -0.132   | -0.417  | -0.132  | -0.262   | 1.120  | 0.128  |
| PW91PW91  | -0.256  | -0.144   | -0.389  | -0.144  | -0.256   | 1.120  | 0.127  |
| OLYP  | -0.346  | -0.074   | -0.402  | -0.074  | -0.346   | 1.600  | 0.073  |
| B3LYP   | -0.218  | -0.159   | -0.407  | -0.159  | -0.218   | 0.943  | 0.157  |
| BHandHLYP                                       | -0.308  | -0.129   | -0.434  | -0.129  | -0.308   | 1.188  | 0.168  |
| WB97XD  | -0.329  | -0.132   | -0.422  | -0.132  | -0.329   | 1.084  | 0.166  |
| MPW2PLYP  | -0.355  | -0.093   | -0.443  | -0.093  | -0.355   | 1.283  | 0.165  |
| B2PLYP  | -0.340  | -0.094   | -0.453  | -0.094  | -0.340   | 1.243  | 0.166  |
| m06   | 0.169   | -0.363   | -0.256  | -0.363  | 0.169  | -0.177   | 0.240  |
|   |   |  |   |   |  |  |  |
|   | Н8  | Н9   | H10   | H11   | N12  | O13  | O14  |
| HF  | H8<br>0.095   | <b>H9</b> 0.103  | H10<br>0.095  | <b>H11</b> 0.169  | N12<br>-0.057  | O13  | O14<br>-0.865  |
| HF<br>MP2                                       |   |  |   |   |  |  |  |
|   | 0.095   | 0.103  | 0.095   | 0.169   | -0.057   | -0.865   | -0.865   |
| MP2   | 0.095   | 0.103<br>0.108   | 0.095<br>0.082  | 0.169<br>0.171  | -0.057<br>-0.087   | -0.865<br>-0.861   | -0.865<br>-0.861   |
| MP2<br>PBEPBE                                   | 0.095<br>0.082<br>0.063                                     | 0.103<br>0.108<br>0.075  | 0.095<br>0.082<br>0.063                                     | 0.169<br>0.171<br>0.128                                     | -0.057<br>-0.087<br>-0.284   | -0.865<br>-0.861<br>-0.544   | -0.865<br>-0.861<br>-0.544   |
| MP2 PBEPBE PW91PW91                             | 0.095<br>0.082<br>0.063<br>0.056                            | 0.103<br>0.108<br>0.075<br>0.070                                     | 0.095<br>0.082<br>0.063<br>0.056                            | 0.169<br>0.171<br>0.128<br>0.127                            | -0.057<br>-0.087<br>-0.284<br>-0.378                               | -0.865<br>-0.861<br>-0.544<br>-0.494   | -0.865<br>-0.861<br>-0.544<br>-0.494   |
| MP2 PBEPBE PW91PW91 OLYP                        | 0.095<br>0.082<br>0.063<br>0.056<br>0.003                   | 0.103<br>0.108<br>0.075<br>0.070<br>0.024                            | 0.095<br>0.082<br>0.063<br>0.056<br>0.003                   | 0.169<br>0.171<br>0.128<br>0.127<br>0.073                   | -0.057<br>-0.087<br>-0.284<br>-0.378<br>-0.340                     | -0.865<br>-0.861<br>-0.544<br>-0.494<br>-0.597                               | -0.865<br>-0.861<br>-0.544<br>-0.494<br>-0.597                               |
| MP2 PBEPBE PW91PW91 OLYP B3LYP                  | 0.095<br>0.082<br>0.063<br>0.056<br>0.003                   | 0.103<br>0.108<br>0.075<br>0.070<br>0.024<br>0.099                   | 0.095<br>0.082<br>0.063<br>0.056<br>0.003                   | 0.169<br>0.171<br>0.128<br>0.127<br>0.073<br>0.157          | -0.057<br>-0.087<br>-0.284<br>-0.378<br>-0.340<br>-0.221           | -0.865<br>-0.861<br>-0.544<br>-0.494<br>-0.597<br>-0.577                     | -0.865<br>-0.861<br>-0.544<br>-0.494<br>-0.597<br>-0.577                     |
| MP2 PBEPBE PW91PW91 OLYP B3LYP BHandHLYP        | 0.095<br>0.082<br>0.063<br>0.056<br>0.003<br>0.090          | 0.103<br>0.108<br>0.075<br>0.070<br>0.024<br>0.099<br>0.106          | 0.095<br>0.082<br>0.063<br>0.056<br>0.003<br>0.090          | 0.169<br>0.171<br>0.128<br>0.127<br>0.073<br>0.157<br>0.168 | -0.057<br>-0.087<br>-0.284<br>-0.378<br>-0.340<br>-0.221<br>-0.154 | -0.865<br>-0.861<br>-0.544<br>-0.494<br>-0.597<br>-0.577<br>-0.682           | -0.865<br>-0.861<br>-0.544<br>-0.494<br>-0.597<br>-0.577<br>-0.682           |
| MP2 PBEPBE PW91PW91 OLYP B3LYP BHandHLYP WB97XD | 0.095<br>0.082<br>0.063<br>0.056<br>0.003<br>0.090<br>0.097 | 0.103<br>0.108<br>0.075<br>0.070<br>0.024<br>0.099<br>0.106<br>0.107 | 0.095<br>0.082<br>0.063<br>0.056<br>0.003<br>0.090<br>0.097 | 0.169<br>0.171<br>0.128<br>0.127<br>0.073<br>0.157<br>0.168 | -0.057<br>-0.087<br>-0.284<br>-0.378<br>-0.340<br>-0.221<br>-0.154 | -0.865<br>-0.861<br>-0.544<br>-0.494<br>-0.597<br>-0.577<br>-0.682<br>-0.613 | -0.865<br>-0.861<br>-0.544<br>-0.494<br>-0.597<br>-0.577<br>-0.682<br>-0.613 |

Данные табл. 2 показывают, что в хорошем согласии находятся расчетные значение адиабатического сродства к электрону ( $EA_{ad}$ ), полученные по данным методов, кроме методов HF и MP2.

По данным всех используемых методов в АРНБ по сравнению с нейтральной молекулой наблюдается увеличение положительных уменьшение отрицательных зарядов на атомах (табл. 5). Наибольший по величине положительный заряд сосредоточен на атоме углерода С6 и на атомах водорода Н7, Н9 и Н11. В то время по данным атоме азота N12 на локализован отрицательный заряд, по сравнению с нейтральной молекулой В АРНБ наблюдается увеличение абсолютного значение отрицательного заряда на атомах С2, С4, О13 и О14. Исключение составляют данные, полученные в методами МР2 и М06. Метод МР2 предсказывает уменьшение отрицательного заряда на атомах углерода С2 и С4 и увеличение заряда на атоме углерода С6, тогда как по данным метода HF в КРНМ наблюдается возникновение положительного заряда на атомах углерода С1, С5 и соответствует положительный заряд на атоме азота N12.

Катион-радикал нитробензола (КРНБ) образуется за счет удаления электрона из нейтральной молекулы. Расчетные значения геометрических параметров и зарядов на атомах представлены в табл. 6 и 7 (см. рис.3).



Puc. 3 - Равновесная структура КРНБ: а) по данным методов HF, BHandHLYP, wB97XD, mPW2PLYP, B2PLYP и M06 б) по данным методов MP2, PBEPBE, PW91PW91, OLYP и B3LYP

Для КРНБ по данным расчетов существует две структуры и этот результат согласует с результатами работы [27]; вторая структура соответствует повороту  $NO_2$ -группы относительно плоскости кольца.

Расчетные данные (в табл. 6) показывают, что геометрические параметры КРНБ незначительно изменяются по сравнению с нейтральной молекулой НБ, за исключением валентных углов C6-N12-O13, O13-N12-O14 и двугранного угла между NO<sub>2</sub>-группой и плоскостью кольца. При этом, наблюдается незначительное уменьшение длины связи N12-O13. Для остальных параметров по данным методов НF, BHandHLYP, wB97XD, mPW2PLYP, B2PLYP и M06 (соответственна структура a)) наблюдаются увеличение длин связи С1-С6, С6-N12 и углов С6-С1-C2, C1-C2-C3, O13-N12-O14 и уменьшение углов C1-C6-C5, C2-C3-C4, C6-N12-O13. По данным методов MP2, PBEPBE, PW91PW91, OLYP и B3LYP (структура б)), наоборот, наблюдаются уменьшение длин связи С1-С6, С6-N12 и улов С6-С1-С2, С1-С2-С3, О13-N12O14 и увеличение углов C1-C6-C5, C2-C3-C4, C6-N12-O13.

Таблица 6 - Расчетные значения длин связей и валентных углов в КРНБ (длины связей в Å, углы в градусах)

| Методы  | C6-C1   | C6-N12  | N12-O13   | С1-Н7   | C1-C6-C5  |
|---|---|---|---|---|---|
| HF  | 1.374   | 1.465   | 1.178   | 1.074   | 120.7   |
| MP2   | 1.403   | 1.400   | 1.232   | 1.087   | 125.4   |
| PBEPBE  | 1.417   | 1.451   | 1.227   | 1.092   | 124.2   |
| PW91PW91  | 1.416   | 1.449   | 1.227   | 1.090   | 124.2   |
| OLYP  | 1.418   | 1.459   | 1.221   | 1.087   | 123.9   |
| B3LYP   | 1.411   | 1.452   | 1.218   | 1.083   | 124.0   |
| BHandHLYP                                       | 1.370   | 1.470   | 1.193   | 1.077   | 120.9   |
| WB97XD  | 1.359   | 1.484   | 1.205   | 1.084   | 121.1   |
| MPW2PLYP  | 1.378   | 1.481   | 1.214   | 1.083   | 121.0   |
| B2PLYP  | 1.380   | 1.484   | 1.218   | 1.084   | 121.0   |
| M06   | 1.379   | 1.488   | 1.201   | 1.088   | 121.1   |
|   |   |   |   |   |   |
|   | C6-C1-C2  | C1-C2-C3  | C2-C3-C4  | C6-N12-O13  | O13-N12-O14   |
| HF  | C6-C1-C2  | C1-C2-C3  | C2-C3-C4  | C6-N12-O13  | <b>O13-N12-O14</b> 127.5                                    |
| HF<br>MP2                                       |   |   |   |   |   |
|   | 119.3   | 121.0   | 118.6   | 116.2   | 127.5   |
| MP2   | 119.3<br>116.3  | 121.0<br>120.3  | 118.6<br>121.5  | 116.2<br>123.1  | 127.5<br>113.8  |
| MP2<br>PBEPBE                                   | 119.3<br>116.3<br>117.3                                     | 121.0<br>120.3<br>119.8                                     | 118.6<br>121.5<br>121.6                                     | 116.2<br>123.1<br>117.6                                     | 127.5<br>113.8<br>124.9                                     |
| MP2 PBEPBE PW91PW91                             | 119.3<br>116.3<br>117.3<br>117.3                            | 121.0<br>120.3<br>119.8<br>119.8                            | 118.6<br>121.5<br>121.6<br>121.6                            | 116.2<br>123.1<br>117.6<br>117.6                            | 127.5<br>113.8<br>124.9<br>124.9                            |
| MP2 PBEPBE PW91PW91 OLYP                        | 119.3<br>116.3<br>117.3<br>117.3<br>117.5                   | 121.0<br>120.3<br>119.8<br>119.8<br>119.9                   | 118.6<br>121.5<br>121.6<br>121.6<br>121.4                   | 116.2<br>123.1<br>117.6<br>117.6<br>117.2                   | 127.5<br>113.8<br>124.9<br>124.9<br>125.6                   |
| MP2 PBEPBE PW91PW91 OLYP B3LYP                  | 119.3<br>116.3<br>117.3<br>117.3<br>117.5<br>117.3          | 121.0<br>120.3<br>119.8<br>119.8<br>119.9                   | 118.6<br>121.5<br>121.6<br>121.6<br>121.4<br>121.7          | 116.2<br>123.1<br>117.6<br>117.6<br>117.2<br>114.5          | 127.5<br>113.8<br>124.9<br>124.9<br>125.6<br>127.1          |
| MP2 PBEPBE PW91PW91 OLYP B3LYP BHandHLYP        | 119.3<br>116.3<br>117.3<br>117.3<br>117.5<br>117.3<br>119.3 | 121.0<br>120.3<br>119.8<br>119.8<br>119.9<br>119.8<br>120.9 | 118.6<br>121.5<br>121.6<br>121.6<br>121.4<br>121.7<br>118.7 | 116.2<br>123.1<br>117.6<br>117.6<br>117.2<br>114.5<br>116.2 | 127.5<br>113.8<br>124.9<br>124.9<br>125.6<br>127.1          |
| MP2 PBEPBE PW91PW91 OLYP B3LYP BHandHLYP WB97XD | 119.3<br>116.3<br>117.3<br>117.3<br>117.5<br>117.3<br>119.3 | 121.0<br>120.3<br>119.8<br>119.8<br>119.9<br>119.8<br>120.9 | 118.6<br>121.5<br>121.6<br>121.6<br>121.4<br>121.7<br>118.7 | 116.2<br>123.1<br>117.6<br>117.6<br>117.2<br>114.5<br>116.2 | 127.5<br>113.8<br>124.9<br>124.9<br>125.6<br>127.1<br>127.7 |

Анализ данных по зарядам на атомах в КРНБ (табл. 7) показывает, что отрицательный заряд на атомах C1, C3, C5, N12 и O13 значительно уменьшается по сравнению с нейтральной молекулой НБ. Особенно, значительный положительный заряд возникает на атомах C2, C4 и N12 (за исключением методов ВНапdНLYP и M06) и увеличивается на атомах C6, H7, H8, H9, H10, H11.

Значения вертикального потенциала ионизации (IP $_{\rm v}$ ) были рассчитаны на основе выражения (3):

$$IP_{v} = E_{tot}(M^{\bullet +}) - E_{tot}(M_{eq}), \qquad (3)$$

где  $E_{tot}(HM_{eq})$  — полная электронная энергия нейтральной молекулы в равновесном состоянии,  $E_{tot}(M^{*+})$  - полная электронная энергия катионрадикала, геометрическая структура которого отвечает равновесной конфигурации нейтральной молекулы.

Оценки адиабатического потенциала ионизации  ${\rm IP}_{\rm ad}$  рассчитывались по формуле (4)

$$IP_{ad} = E_{tot}(M_{eq}^{\bullet+})_{\kappa} - E_{tot}(M_{eq}), \tag{4}$$

где  $E_{tot}(M_{eq}^{\bullet +})_{\kappa}$  — значения полной электронной энергии катион-радикала в его равновесной конфигурации. Расчетные оценки вертикального и адиабатического потенциала ионизации на ряду с экспериментальным значением приведены в табл. 2.

Из данных табл. 2 можно сделать вывод, что большинство методов с удовлетворительной точностью передает значения  $IP_{ver}$  и  $IP_{ad}$ . Хуже всего расчетные значения согласуются с экспериментом при использовании методов HF, MP2 и WB97XD (на 0.78, 1.23 и 1.06 эВ, соответственно). Для значений  $IP_{ad}$  все методы с удовлетворительной точностью передают значения  $IP_{ad}$ . Хуже всего расчетные значения согласуются с экспериментом при использовании метода HF. В этом случае различие расчетных и экспериментальных значений составляет 1.32 эВ.

Таблица 7 - Значения малликеновских зарядов на атомах в НБ КР (e. э.)

| Методы  | C1   | C2   | С3  | C4   | C5  | C6   | Н7   |
|---|--|--|---|--|---|--|--|
| HF  | -0.458   | 0.106  | -0.315  | 0.106  | -0.460  | 1.940  | 0.237  |
| MP2   | -0.467   | 0.220  | -0.367  | 1.173  | -0.367  | 0.220  | 0.180  |
| PBEPBE  | -0.051   | 0.167  | -0.321  | 0.167  | -0.051  | 0.672  | 0.170  |
| PW91PW91  | -0.065   | 0.166  | -0.312  | 0.167  | -0.065  | 0.751  | 0.160  |
| OLYP  | 0.043  | 0.292  | -0.225  | 0.292  | 0.043   | 0.530  | 0.118  |
| B3LYP   | 0.041  | 0.104  | -0.313  | 0.109  | 0.011   | 0.515  | 0.201  |
| BHandHLYP                                       | -0.340   | 0.058  | -0.249  | 0.058  | -0.339  | 1.545  | 0.242  |
| WB97XD  | -0.422   | -0.041   | -0.169  | 0.087  | -0.388  | 1.710  | 0.218  |
| MPW2PLYP  | -0.372   | 0.072  | -0.25   | 0.072  | -0.372  | 1.649  | 0.236  |
| B2PLYP  | -0.342   | 0.057  | -0.247  | 0.057  | -0.342  | 1.586  | 0.240  |
| m06   | -0.373   | -0.123   | -0.009  | -0.189   | -0.348  | 1.510  | 0.279  |
|   |  |  |   |  |   |  |  |
|   | Н8   | Н9   | H10   | H11  | N12   | O13  | 014  |
| HF  | <b>H8</b> 0.192  | <b>H9</b> 0.188  | <b>H10</b> 0.192  | <b>H11</b> 0.237   | <b>N12</b> 0.310  | O13  | O14<br>-0.638  |
| HF<br>MP2                                       |  |  |   |  |   |  |  |
|   | 0.192  | 0.188  | 0.192   | 0.237  | 0.310   | -0.638   | -0.638   |
| MP2   | 0.192<br>0.170   | 0.188  | 0.192<br>0.205  | 0.237<br>0.170   | 0.310   | -0.638<br>-0.347   | -0.638<br>-0.347   |
| MP2<br>PBEPBE                                   | 0.192<br>0.170<br>0.157  | 0.188<br>0.205<br>0.160  | 0.192<br>0.205<br>0.157                                     | 0.237<br>0.170<br>0.170  | 0.310<br>0.351<br>0.211                                     | -0.638<br>-0.347<br>-0.304   | -0.638<br>-0.347<br>-0.304   |
| MP2 PBEPBE PW91PW91                             | 0.192<br>0.170<br>0.157<br>0.146                                     | 0.188<br>0.205<br>0.160<br>0.149                                     | 0.192<br>0.205<br>0.157<br>0.146                            | 0.237<br>0.170<br>0.170<br>0.160                                     | 0.310<br>0.351<br>0.211<br>0.178                            | -0.638<br>-0.347<br>-0.304<br>-0.291   | -0.638<br>-0.347<br>-0.304<br>-0.290   |
| MP2 PBEPBE PW91PW91 OLYP                        | 0.192<br>0.170<br>0.157<br>0.146<br>0.109                            | 0.188<br>0.205<br>0.160<br>0.149<br>0.115                            | 0.192<br>0.205<br>0.157<br>0.146<br>0.109                   | 0.237<br>0.170<br>0.170<br>0.160<br>0.118                            | 0.310<br>0.351<br>0.211<br>0.178<br>0.302                   | -0.638<br>-0.347<br>-0.304<br>-0.291<br>-0.423                               | -0.638<br>-0.347<br>-0.304<br>-0.290<br>-0.423                               |
| MP2 PBEPBE PW91PW91 OLYP B3LYP                  | 0.192<br>0.170<br>0.157<br>0.146<br>0.109<br>0.189                   | 0.188<br>0.205<br>0.160<br>0.149<br>0.115<br>0.192                   | 0.192<br>0.205<br>0.157<br>0.146<br>0.109<br>0.188          | 0.237<br>0.170<br>0.170<br>0.160<br>0.118<br>0.202                   | 0.310<br>0.351<br>0.211<br>0.178<br>0.302<br>0.232          | -0.638<br>-0.347<br>-0.304<br>-0.291<br>-0.423<br>-0.327                     | -0.638<br>-0.347<br>-0.304<br>-0.290<br>-0.423<br>-0.343                     |
| MP2 PBEPBE PW91PW91 OLYP B3LYP BHandHLYP        | 0.192<br>0.170<br>0.157<br>0.146<br>0.109<br>0.189<br>0.203          | 0.188<br>0.205<br>0.160<br>0.149<br>0.115<br>0.192                   | 0.192<br>0.205<br>0.157<br>0.146<br>0.109<br>0.188<br>0.203 | 0.237<br>0.170<br>0.170<br>0.160<br>0.118<br>0.202<br>0.242          | 0.310<br>0.351<br>0.211<br>0.178<br>0.302<br>0.232<br>0.113 | -0.638<br>-0.347<br>-0.304<br>-0.291<br>-0.423<br>-0.327<br>-0.465           | -0.638<br>-0.347<br>-0.304<br>-0.290<br>-0.423<br>-0.343<br>-0.465           |
| MP2 PBEPBE PW91PW91 OLYP B3LYP BHandHLYP WB97XD | 0.192<br>0.170<br>0.157<br>0.146<br>0.109<br>0.189<br>0.203<br>0.182 | 0.188<br>0.205<br>0.160<br>0.149<br>0.115<br>0.192<br>0.195<br>0.174 | 0.192<br>0.205<br>0.157<br>0.146<br>0.109<br>0.188<br>0.203 | 0.237<br>0.170<br>0.170<br>0.160<br>0.118<br>0.202<br>0.242<br>0.222 | 0.310<br>0.351<br>0.211<br>0.178<br>0.302<br>0.232<br>0.113 | -0.638<br>-0.347<br>-0.304<br>-0.291<br>-0.423<br>-0.327<br>-0.465<br>-0.357 | -0.638<br>-0.347<br>-0.304<br>-0.290<br>-0.423<br>-0.343<br>-0.465<br>-0.354 |

Оценки потенциала ионизации, полученные с использованием теоремы Купманса ( $IP_K$ ) и использованием DFT методов достаточно плохо согласуются с экспериментом (Табл.2). Наиболее надежные расчетные оценки  $IP_K$  были получены при использовании методов MP2, HF и WB97XD.

Таким образом, на основе полученных в работе результатов мы можем сделать вывод, что все используемые квантово-химические методы с высокой

надежностью передают значения длин связей, валентных углов и дипольных моментов в нейтральной молекуле НБ. Данные по геометрии АРНБ и КРНБ, полученные в рамках различных квантово-химических методов также согласуются между собой. Теоритические оценки адиабатического сродства к электрону находятся в хорошем согласии друг с другом; расчетные значения вертикального И адиабатического потенциала ионизации в большинстве случаев согласуются имеющимся хорошо c экспериментальным значением.

Расчеты проводились с использованием вычислительных ресурсов Межведомственного Суперкомпьютерного Центра РАН.

### Литература

- 1. Б. Нгуен Ван, Р.В. Цышевский, Г.М. Храпковский, *Вестник казанского технологического университета*, 7, 7-10 (2012).
- 2. Б. Нгуен Ван, Р.В. Цышевский, Г.М. Храпковский, *Вестник казанского технологического университета*, 7, 21-25 (2012).
- 3. G.M. Khrapkovskii, D.D. Sharipov, A.G. Shamov, D.L. Egorov, D.V. Chachkov, B. Nguyen Van, R.V. Tsyshevsky, *Computational and Theoretical Chemistry*, **1017**, 7-13 (2013)
- 4. R. V. Tsyshevsky, B. Nguen Van, A. G. Shamov, and G. M. Khrapovskii, *Russian Journal of General Chemistry*, **83**, 1823-1839 (2013).
- 5. G.M. Khrapkovskii, A.G. Shamov, E.V. Nikolaeva, D.V. Chachkov, *Russ. Chem. Rev*, **78**, 903 (2009).
- 6. D.D. Sharipov, D.L. Egorov, D.V. Chachkov, A.G. Shamov and G.M. Khrapkovskii, *Rus. J. Gen. Chem*, **81**, 2273 (2011).
- 7. C. C. J. Roothaan, Rev. Mod. Phys., 23, 69 (1951).
- 8. R. McWeeny and G. Dierksen, *J. Chem. Phys.*, **49**, 4852 (1968).
- 9. C. Møller and M. S. Plesset, *Phys. Rev.*, **46**, 0618-22 (1934).
- 10. J. P. Perdew, K. Burke, and M. Ernzerhof, *Phys. Rev. Lett*, 77, 3865-68 (1996)
- 11. J. P. Perdew, K. Burke, and M. Ernzerhof, *Phys. Rev. Lett*, **78**, 1396 (1997).
- 12. J. P Perdew, Ed. P. Ziesche and H. Eschrig, *Electronic Structure of Solids* (Akademie Verlag, Berlin). Abstracts. Berlin, 1991. P 11.
- 13. N. C. Handy and A. J. Cohen, *Mol Phys*, **99**, 403-12 (2001).
- 14. C. Lee, W. Yang and R. G. Parr, *Physical Review B*, **37**, 785-789 (1988).
- 15. A. D. Becke, J. Chem. Phys, 98, 5648-5652 (1993).
- Gaussian 09, Revision A.1, M. J. Frisch et al, Gaussian, Inc., Wallingford CT, 2009.
- 17. C. Lee, W. Yang, R. G. Parr, *Phys. Rev*, **37**, 785-789, (1988).
- 18. A.D. Becke, J. Chem. Phy, 98, 5648-52 (1993).
- 19. A.D. Becke, J. Chem. Phy, 98, 1372-77 (1993).
- 20. Y. Zhao and D. G. Truhlar, *Theor. Chem. Acc.*, **120**, 215-41 (2008).
- 21. S. Grimme, J. Chem. Phys, 124, 034108 (2006).
- 22. T. Schwabe, S. Grimme, *Phys. Chem. Chem. Phys*, **8**, 4398 (2006).
- 23. P. Hohenberg, W. Kohn, *Phys. Rev.*, **136**, B.864-B71 (1964).
- 24. W. Kohn, L.J. Sham, Phys. Rev, 140, A1133-A38 (1965).
- 25. J.D. Chai, M. Head-Gordon, *Phys. Chem. Chem. Phys*, **10**, 6615-20 (2008).

- J.D. Chai, M. Head-Gordon, Phys. Chem. Chem. Phys, 128, 084106 (2008).
- 27. Е. В. Николаева, Дис. канд. хим. наук, КГТУ, Казань, 2002.
- 28. NIST Computational Chemistry Comparison and Benchmark Database, NIST Standard Reference Database Number 101, Release 15b, August 2011, Editor: Russell D. Johnson III.
- © **Нгуен Ван Бо** аспирант кафедры катализа КНИТУ, vanbo2612@yahoo.com; **Р. В. Цышевский** к.х.н, доцент кафедры катализа КНИТУ, tsyshevskyrv@kstu.ru; **Г. М. Храпковский** д.х.н., профессор кафедры катализа КНИТУ, khrapkovskii@kstu.ru.
- © Nguyen Van Bo graduate student of department of catalysis KNRTU, vanbo2612@yahoo.com; R. V. Tsyshevsky PhD in chemistry, associate professor, department of catalysis KNRTU, tsyshevskyrv@kstu.ru; G. M. Khrapkovskii dr.Sc. in chemistry, professor, department of catalysis KNRTU, khrapkovskii@kstu.ru.